

Yield and morphological responses of twenty potato (*Solanum tuberosum L.*) genotypes in response to drought stress

Z. Hajibarat¹, A. Saidi^{*}, A. Mosuapour Gorji², M.R. Ghaffari³, M. Zienalabedini³

1. Department of Plant Sciences and Biotechnology, Faculty of Life Sciences and Biotechnology, Shahid Beheshti University,

Tehran, Iran

2. Department of Vegetable Research, Seed and Plant Improvement Institute (SPII), Agricultural Research, Education and Extension Organization (AREEO), Karaj, Iran

3. Agricultural Biotechnology Research Institute of Iran, Department of Systems and Synthetic Biology, Agricultural Research, Education and Extension Organization (AREEO), Karaj, Iran

Received 18 July 2021; Accepted 13 October 2021

Extended abstract

Introduction

Water deficit poses severe limitation to potato cultivation as a drought-sensitive crop plant. Selection of tolerant genotypes based on a combination of tolerance indices can provide useful criteria for breeding drought tolerant potato varieties. Water deficit affects plants at various levels and stages of their life cycle. This abiotic stress not only affects plant–water relations through the reduction of leaf water content, turgor, and total water, but it also affects stomata closure, limits gas exchange, reduces transpiration, and disturbs photosynthesis. In potato, tolerance to drought is a very complex trait. Photosynthesis is one of the basic physiological processes of plants with internal and external conditions. Any reduction of the intensity of this process causes a decrease in the amount and quality of crop plants. One of the indicators for early prediction of potato yielding can be the measurement of chlorophyll content. It is an informative tool for studying the effects of different environmental stresses on photosynthesis. Chlorophyll content has an important role in photosynthesis and in understanding plant functions. In any research, measuring of the chlorophyll content is used for assessment of potato genotypes tolerant and/or sensitive to environmental stresses.

Materials and methods

In this study, 20 potato genotypes were evaluated under two water levels; normal and water deficit stress conditions. The experiment was performed as split-plot based on randomized complete block design with three replications at the Seed and Plant Improvement Institute, Karaj, Iran in 2018. The correlations among the different traits were measured and estimated by calculating Pearson correlation coefficients using the statistical tool in Minitab 17. Tuber yield, yield components, growth parameters, and morphological traits were measured under both well-watered and water stressed treatments. Morphological and reproductive characteristics such as plant height, leaf dry weight, chlorophyll content, yield tuber, ware yield, seed yield, non-marketable yield, and marketable yield were measured.

Result and discussion

Analysis of variance showed that stem number, chlorophyll content, stem thickness, plant height, leaf dry weight (LDW), total yield, ware yield (yield > 55 mm), seed yield (yield 35–55 mm), non-marketable

* Corresponding author: Abbas Saidi; E-Mail: abbas.saidi@gmail.com



yield (yield<35 mm), and marketable yield (ware and seed yield) were significantly affected by genotype and drough and their interaction. Analysis of variance showed that the simple effect of genotype treatment on all studied traits including yield, ware yield, seed yield and marketable yield, LDW, stem thickness, plant height, chlorophyll content, and stem number were significant at 1% level. Correlation of stem number and plant height was highly positive and significant at the 0.01 level. Principal component analysis (PCA) and measured traits showed that genotypes 2, 5, 7 and 13 had high performance in the studied stress environment. To fully reflect the various factors that played a principal role in the comprehensive indicators, PCA was carried out on quantitative traits. The accumulative contribution rate accounted for 99% of the total variation for PC3. Analysis of PCA by the correlation matrix and the biplot analysis methods used in this study revealed that these parameters could be used for evaluating the responses of potato genotypes to water deficit in different environments. The associations among traits related to yield and genotypes are graphically revealed in a biplot of PC1 and PC2. The PC1 and PC2 axes mainly distinguish the morphological traits and yield-related traits in three different groups.

Conclusion

Parameters related to yield and leaf photosynthetic pigment content (chlorophyll content) were used to rank the clones and cultivars tested for comparative analysis. Based on our results, genotype 7 performed well under normal and water stress conditions. Water deficit is an important constraint limiting the crop productivity worldwide. Plants show a wide range of responses to water deficit which are mostly expressed by a variety of alterations in the growth and morphology of plants. Field experiments revealed that water deficit affects all evaluated morphological and yield related traits.

Keywords: Chlorophyll content, Correlation, Morphological traits, Potato, Yield



عملکرد و پاسخ‌های مورفولوژیکی بیست ژنوتیپ سیب‌زمینی (*Solanum tuberosum* L.) در پاسخ به تنش خشکی

زهره حاجی‌برات^۱، عباس سعیدی^{۱*}، احمد موسی‌بورگرجی^۲، محمد رضا غفاری^۳، مهرداد زین‌العابدینی^۴

۱. گروه علوم و فناوری زیستی گیاهی، دانشکده علوم و فناوری زیستی، دانشگاه شهید بهشتی، تهران

۲. مؤسسه تحقیقات اصلاح و تهیه نهال و بذر، سازمان تحقیقات، آموزش و ترویج کشاورزی، کرج

۳. گروه زیست‌شناسی سیستم‌ها، پژوهشگاه بیوتکنولوژی کشاورزی ایران، سازمان تحقیقات، آموزش و ترویج کشاورزی، کرج

مشخصات مقاله	چکیده
واژه‌های کلیدی:	سیب‌زمینی صفات مورفولوژیکی عملکرد محتوای کلروفیل همبستگی
تاریخ دریافت:	۱۴۰۰/۰۴/۲۷
تاریخ پذیرش:	۱۴۰۰/۰۷/۲۱
تاریخ انتشار:	بهار ۱۴۰۲
	۱۶(۱): ۱۹۴-۱۸۳

مقدمه

از طریق کاهش محتوای آب، باعث بسته شدن روزنه، کاهش تعرق و ایجاد اختلال در فتوسنترز و نهایتاً تأثیر منفی روی گندم و برنج است. سطح زیرکشت این گیاه در ایران در حدود ۱۷۰,۰۰۰ هکتار و میزان تولید حدود ۵ میلیون تن برآورد می‌شود و سطح زیرکشت سیب‌زمینی در جهان حدود ۱۷,۳ میلیون هکتار و میزان تولید آن به ۳۷۰ میلیون تن در هکتار می‌رسد (FAO, 2020). کمبود آب، به عنوان یکی از مهم‌ترین تنش‌های غیرزیستی بوده که این تنش تأثیر منفی بر روی مراحل مختلف رشد سیب‌زمینی می‌گذارد. کمبود آب

گیاهان می‌گذارد (Martínez-Romero et al., 2019; Mbava et al., 2020) و وزن خشک برگ (LDW) و تغییر تسهیم جذب کربن در بافت‌های گیاه می‌شود (Zain et al., 2014). حساسیت ژنوتیپ‌ها به کمبود آب متفاوت بوده و می‌توان آن‌ها را در دو گروه متحمل یا حساس طبقه‌بندی نمود (Cabello et al.,

برای عملکرد بالا تحت تنش و سایر صفات فتوتیپی است (Mauromicale et al., 2006). تأخیر در زمان پیری برای عملکرد مناسب گیاهان تحت تنش خشکی در انتهای فصل ضروری تلقی می‌شود؛ بنابراین، این یک روش مطلوب برای بهدست‌آوردن داده‌ها بدون نمونه‌گیری وقت‌گیر و هزینه بالا است (Bartlett et al., 2012). در سیب‌زمینی، تحمل به خشکی یک صفت پیچیده است (Anithakumari et al., 2012). تحمل به خشکی در گیاهی اغلب با صفات مورفولوژیکی آن‌ها همراه است. همچنین، ژنتوتیپ‌های دیررس سیب‌زمینی با سیستم ریشه‌ای بیشتر و عمیق‌تر، نسبت به خشکی مقاومت بیشتری دارند (Iwama 2008). برای شناسایی والدین برتر از مشخصات مورفولوژیکی می‌توان استفاده نمود و همیشه باید از آن‌ها برای معرفی و طبقه‌بندی ژرم‌پلاسم استفاده شود.

آنالیز مؤلفه‌های اصلی و گروه‌بندی خوش‌ها نیز ابزار مفیدی برای غربال‌گری ژنتوتیپ‌های متتحمل هستند (Karimi et al., 2009). برنامه‌های اصلاحی امکانی برای بهبود محصول در شرایط آب‌وهوای پیش‌بینی شده (Mark and Peter, 2010). علاوه بر صفات مورفولوژیکی، سایر صفات مرتبط با عملکرد مثل شاخص‌های عملکرد نقش مهمی در انتخاب والدین دارد؛ بنابراین شخص‌های تحمل به تنش خشکی برای بررسی اثر تنش خشکی بر کاهش عملکرد در مقایسه با شرایط نرمال، برای غربال‌گری ژنتوتیپ‌های متتحمل به تنش استفاده می‌شود (Mitra, 2001). اهداف این مطالعه شامل (۱) ارزیابی صفات مورفولوژیکی و صفات مربوط به عملکرد سیب‌زمینی تحت شرایط آبیاری (تنش کم‌آبیاری و نرمال)، (۲) ارزیابی اینکه کدام‌یک از این شاخص‌ها بیشترین ارتباط را با عملکرد دارد و (۳) آیا امکان پیش‌بینی عملکرد نهایی برای اساس وجود دارد، هستند.

مواد و روش‌ها

این آزمایش به صورت فاکتوریل بر پایه طرح بلوك-های کامل تصادفی (RCBD) در سه تکرار در مؤسسه تحقیقات اصلاح و تهییه نهال و بذر کرج (عرض جغرافیایی ۳۵ درجه، طول جغرافیایی ۵۰ درجه و ارتفاع ۱۳۱۳ متر بالاتر از سطح دریا) طی سال ۱۳۹۸-۱۳۹۰ انجام شد. در این پژوهش، ۲۰ ژنتوتیپ (یک رقم و ۱۹ کلون) سیب‌زمینی از نظر تفاوت حساسیت به تنش آبی و میزان رسیدگی ژنتوتیپ‌ها در

(Obidiegwu et al., 2015) شد که تنش خشکی در مرحله گلدهی گندم منجر به کاهش محتوای کلروفیل گردید (Mihaljevic et al., 2021). همچنین در مطالعه‌ای گزارش شد که میزان کلروفیل در گیاه‌چه برنج تحت تنش خشکی کاهش یافت (Dalal and Tripathy, 2012). کاهش میزان فتوسنتر باعث کندشدن رشد می‌شود و بر پارامترهای مانند میزان ماده خشک و انتشار فتواسیمیلات در گیاهان تأثیر می‌گذارد (Chaves et al., 2002; Lahlou et al., 2003). این اثرات سوء بر رشد Lahlou et al., 2003 سیب‌زمینی و سورگوم گزارش شده است (Lahlou et al., 2003). با این حال، تفاوت‌هایی در اثرات ناشی از تنش خشکی مربوط به تعییرات مورفولوژیکی، فیزیولوژیکی، بیوشیمیایی و مولکولی در بین گونه‌ها و ارقام مشاهده شده است.

بر اساس نتایج یک مطالعه نشان داده شد که میزان عملکرد غده در آغاز تشکیل غده و حالت برگ‌های فعل Milthrope and Moorby, 1997 فتوسنتری افزایش می‌یابد (Kooistra and Clevers, 2016). هرگونه کاهش میزان فتوسنتر باعث کاهش کیفیت عملکرد می‌شود (Strasser et al., 2000). یکی از شاخص‌های تخمین عملکرد سیب‌زمینی می‌تواند مقدار کلروفیل باشد. این یک ابزار مناسب برای بررسی تأثیر تنش‌های مختلف بر فتوسنتر است (Martínez et al., 2021).

محتوای کلروفیل برای ارزیابی ژنتوتیپ‌های سیب‌زمینی متتحمل/ حساس به تنش‌های محیطی استفاده می‌شود (Mauromicale et al., 2006). تنش و مدت‌زمان تنش به شدت تنش و همچنین به نوع ژنتوتیپ بستگی دارد (Hill et al., 2020). برای انتخاب محصولات زراعی مهم است که والدین برتر بر اساس تحمل به تنش‌های غیرزیستی انتخاب شوند. در سیب‌زمینی، کمبود آب به‌طور قابل توجهی باعث کاهش تعداد برگ، پتانسیل آب گیاه، سطح برگ، ارتفاع ساقه و تعداد غده‌ها می‌شود (Martínez et al., 2021).

علاوه بر این، مطالعات ریخت‌شناسی خشکی در سیب‌زمینی با استفاده از صفات زیست‌توده، عملکرد و شاخص‌های فیزیولوژیکی انجام شده است. درجه سبزبینگی از طریق میزان کلروفیل (SPAD)، یک صفت گیاهی بوده که برای ارزیابی تأخیر در پیری برگ در برخی از محصولات تحت تنش برآورد شد. در سیب‌زمینی، از محتوای کلروفیل برای ارزیابی پاسخ عملکرد به محدودیت آب استفاده شده است (Yactayo et al., 2013). مطالعات نشان داده‌اند که اغلب، اصلاح سیب‌زمینی برای تحمل به خشکی بر اساس انتخاب

استقرار گیاه برای نه هفته میزان آب مصرفی در هر دور آبیاری برای شرایط کم آبیاری و نرمال به ترتیب ۲۵۰ و ۶۵۰ مترمکعب در هکتار در نظر گرفته شد. به منظور ریکاوری گیاه، در دو مرحله پایانی آبیاری به میزان یکسان برای هر دو تیمار تنفس و نرمال صورت گرفت و میزان آب مصرفی در هر مرحله ۴۵۰ مترمکعب در هکتار بود. پس از این مرحله آبیاری قطع و دو هفته پس از آن برداشت صورت گرفت. میزان آب مصرفی در کل دوره رشد رویشی برای شرایط تنفس و نرمال به ترتیب ۴۶۷۰ و ۸۲۷۰ مترمکعب در هکتار بود.

مدت زمان ۱۰۰ تا ۱۱۰ روز انتخاب شدند (جدول ۱) و به صورت دو ردیف با طول ۵ متر و فاصله در ردیف ۲۵ سانتی متر و بین ردیفها ۷۵ سانتی متر کشت شد. در ابتدای هر بلوک کنتور آب نصب و آبیاری در هر مرحله به صورت کنترل شده انجام شد. آبیاری گیاهان در ۱۵ مرحله و هر هفته یکبار نرمال تا استقرار کامل گیاه (چهار هفتگه) به طور یکسان بود. میزان آب مصرفی در هر دور آبیاری تا قبل از مرحله اعمال تنفس به طور متوسط ۳۸۰ مترمکعب در هکتار بود پس از

جدول ۱. لیست ژنوتیپ‌های سیب زمینی مورد استفاده در مطالعه

Table 1. List of potato genotypes used in the study.

No.	ردیف	ژنوتیپ	منشأ	زمان رسیدگی	سال	ردیف	ژنوتیپ	منشأ	زمان رسیدگی	سال
		Genotype	Origin	Maturity time (day)	Clone Year		Genotype	Origin	Maturity time (day)	Clone Year
1	901227	♂Luta×Savalan♀		115	7	11	8708/137	♂Caesar×Savalan♀	96	7
2	902027	♂Luta×Savalan♀		125	7	12	8703-1	♂Savalan×Agria ♀	103	7
3	Hx1	♂Satina× Luca♀		125	7	13	8701/125	♂Savalan×Caesar♀	97	7
4	90975	♂Caesar× Luca♀		120	7	14	8702/5	♂Caesar×Kenebek♀	130	7
5	901175	♂Caesar×Luca♀		122	7	15	8707/26	♂Caesar×Agria♀	111	7
6	901275	♂Caesar×Luca♀		130	7	16	8708/244	♂Caesar×Savalan♀	120	7
7	90275	♂Caesar×Luca♀		130	7	17	8703/804	♂Savalan×Agria ♀	99	7
8	Caesar	♂Monalisa×Ropta♀		130	7	18	KSG807	♂Kenebek×Caesar♀	106	7
9	8708/7	♂Caesar×Savalan♀		122	7	19	KSG616	♂Caesar×Agria♀	105	7
10	8707/87	♂Caesar×Agria♀		112	7	20	KSG300	♂Savalan×Caesar♀	115	7

محتوای کلروفیل

محتوای کلروفیل در ۱۰۰ روز پس از کاشت (DAP) با استفاده از کلروفیل متر قابل حمل (Minolta SPAD-502) از سه قسمت برگی (قسمت‌های بالا، وسط و پایین) اندازه‌گیری شد (Li et al., 2012). صفاتی مانند عملکرد غده و وزن خشک برگ با ترازوی با دقت ۰/۰۰۱ اندازه‌گیری شدند. مقادیر شاخص SPAD به طور متناسب با محتوای کلروفیل مطلق در ۱۰۰ روز بعد از کاشت منعکس شده یا با آن همبستگی زیادی دارند. دستگاه کلروفیل متر می‌تواند با اندازه‌گیری میزان جذب در طیف طول موج ۴۰۰-۵۰۰ نانومتر، محتوای کلروفیل را به طور غیر مستقیم تعیین کند

یازده پارامتر مختلف از جمله تعداد ساقه، مقدار کلروفیل، ضخامت ساقه، ارتفاع بوته، وزن خشک برگ (LDW)، عملکرد کل، عملکرد خوارکی 55 میلی متر ، عملکرد بذری بین ۵۵-۳۵ میلی متر، عملکرد سیب زمینی غیرقابل فروش 35 میلی متر و عملکرد قابل فروش انتخاب شدند (جدول ۲). اکثر پارامترهای انتخاب شده در این مطالعه برای برنامه اصلاحی از جمله ویژگی کیفیت و عملکرد مناسب بود. نتایج تجزیه و تحلیل همبستگی، خوشبندی ژنوتیپ‌ها و آنالیز PCA با استفاده از نرم افزار Minitab v.17 بررسی شد.

نتایج و بحث						
نتایج جدول تجزیه واریانس برای فنوتیپ ۲۰ ژنوتیپ سبیزمینی در محیط‌های مورد آزمایش نشان داد که تغییرات آماری معنی‌داری در تعداد ساقه، محتوای کلروفیل، ضخامت ساقه، ارتفاع بوته، وزن خشک برگ (LDW)، عملکرد کل، عملکرد خوارکی < 55 میلی‌متر، عملکرد بذری (۵۵-۳۵) میلی‌متر و عملکرد غیرقابل فروش > 35 میلی‌متر وجود دارد (جدول ۲). مطابق جدول تجزیه واریانس، اثرات اصلی ژنوتیپ و خشکی و اثر متقابل ژنوتیپ × خشکی بر روی صفات تعداد ساقه و ارتفاع بوته تفاوت معنی‌داری نشان داد ($P < 0.01$).						
تجزیه و تحلیل داده‌ها						
(Kooistra and Clevers, 2016) ارتفاع بوته در طی چهل و دو روز از زمان جوانه‌زنی با استفاده از بالاترین رأس هر گیاه در هر کرت به دست آمد.						

جدول ۲. تجزیه واریانس برای صفات تعداد ساقه، ارتفاع گیاه، قطر ساقه، وزن خشک برگ، محتوای کلروفیل، عملکرد غده، عملکرد خوارکی، عملکرد بذری، عملکرد غیرقابل فروش و عملکرد قابل فروش در ۲۰ ژنوتیپ سبیزمینی.

Table 2. Analysis of variance for traits of stem number, plant height, stem thickness, LDW, chlorophyll content, tuber yield and ware yield, seed yield, and non-marketable and marketable yield in 20 potato genotypes

S.O.V	درجه آزادی df	تعداد ساقه Number of stem	ارتفاع گیاه Plant height	قطر ساقه Stem thickness	وزن خشک برگ Leaf dry weight	محتوای کلروفیل Chlorophyll content
تکرار Rep.	2	0.01	5.26	0.017	0.000004	0.327
ژنوتیپ Genotype (G)	19	7.398**	476.95**	1.41**	0.00157**	93.906**
خشکی Drought (D)	1	23.41**	1466.5**	4.366**	0.0053**	423.189**
خشکی × ژنوتیپ G * D	19	0.37**	16.41**	0.047	0.0002**	7.588**
خطا Error	78	0.02	0.87	0.002	0.00006	1.330
CV%		2.0	2.3	1.1	1.0	3.5

Table 2. Continued

جدول ۲. ادامه

S.O.V	درجه آزادی Df	عملکرد Yield	عملکرد خوارکی Ware yield	عملکرد بذری Seed yield	عملکرد غیرقابل فروش Non-marketable yield	عملکرد قابل فروش Marketable yield
تکرار Rep.	2	1.78	0.273	0.534	0.012	1.57
ژنوتیپ Genotype (G)	19	10.39**	1.01**	1.972**	0.047**	5.80**
خشکی Drought (D)	1	67.482**	0.0078	0.049	0.013	0.097
خشکی × ژنوتیپ G * D	19	0.822	1.10**	2.130**	0.045**	6.24
خطا Error	78	1.04	0.20	0.382	0.007	1.14
CV%		3.6	1.1	0.75	2.1	4.0

** و * به ترتیب در سطح ۱ و ۵ درصد اختلاف معنی‌داری را نشان می‌دهند.

** and * show significance difference at the level of 1 and 5%, respectively

یک درصد تأثیر داشتند. ژنوتیپ‌ها تأثیر معنی‌داری بر عملکرد غده، وزن خشک برگ و محتوای کلروفیل داشتند. از نظر LDW، بین ژنوتیپ‌ها، تفاوت معنی‌داری برای مقدار کلروفیل و عملکرد زراعی مشاهده نشد. عملکرد غده و کیفیت غده سیبزمینی تحت شرایط کمبود آب توسط Lahlou et al., 2003; Samaee et al., 2016 در مطالعه‌ای نشان دادند که تنش خشکی باعث کاهش وزن تازه و وزن خشک غده، زیست‌توده، ماده خشک برگ، شاخص سطح برگ و شاخص برداشت در بین ژنوتیپ‌های سیبزمینی می‌شود (Lahlouet al., 2003). افزایش مدت‌زمان تنش آب قبل از تشکیل غده نیز باعث کاهش تشکیل غده در ساقه می‌شود، اما ادامه کمبود آب در هنگام بزرگ‌شدن غده باعث کاهش اندازه و بازده قابل فروش می‌شود (Kumari, 2012).

همبستگی صفات عملکرد و صفات مورفولوژیکی
همبستگی بین عملکرد غده و صفات فنتوتیپ در جدول ۳ آورده شده است.

نتایج نشان داد که تأثیر تیمار ژنوتیپ‌ها بر روی کلیه صفات موردمطالعه شامل عملکرد، عملکرد بذری و عملکرد قابل فروش در سطح یک درصد معنی‌دار بود. اثر تیمار آبیاری بر عملکرد در سطح یک بسیار معنی‌دار بود. اثر متقابل آبیاری و ژنوتیپ همچنین از نظر تعداد ساقه، ارتفاع بوته، LDW، مقدار کلروفیل، عملکرد خوارکی، عملکرد بذری و عملکرد غیرقابل فروش در سطح یک درصد معنی‌دار بود (جدول ۴). با این حال، تیمار اثر متقابل بین ژنوتیپ با تیمار آبیاری بر روی عملکرد بذری و عملکرد خوارکی، ضخامت ساقه و عملکرد قابل فروش معنی‌دار نبود. نتایج نشان داد که تیمار ژنوتیپ بر روی کلیه صفات موردمطالعه شامل تعداد ساقه، ارتفاع بوته، مقدار کلروفیل، LDW، عملکرد بذری در سطح احتمال یک درصد معنی‌دار بود. اثر ساده تیمار آبیاری بر عملکرد نیز در سطح یک درصد معنی‌دار بود. بر اساس نتایج به دست آمده، تیمارهای آبیاری به طور معنی‌داری بر عملکرد، تعداد ساقه، ارتفاع بوته، مقدار کلروفیل، LDW، مقدار کلروفیل در سطح

جدول ۳. ضریب همبستگی صفات فنتوتیپی در میان ۲۰ ژنوتیپ سیبزمینی

Table 3. The correlation coefficients of phenotypic traits among 20 potato genotypes.

	همبستگی	1	2	3	4	5	6	7	8	9	10
1	تعداد ساقه Number of stem	1	0.996**	0.996**	0.966**	0.991**	-0.053	0.039	0.051	0.078	0.046
2	ارتفاع گیاه Plant height		1	1.000**	0.967**	0.990**	-0.037	0.041	0.051	0.084	0.047
3	قطر ساقه Stem thickness			1	0.967**	0.990**	-0.037	0.042	0.052	0.084	0.048
4	وزن خشک برگ Leaf dry weight				1	0.957**	0.093	0.17	0.181	0.194	0.176
5	محتوای کلروفیل Chlorophyll content					1	-0.033	0.038	0.045	0.079	0.042
6	عملکرد Yield						1	0.934**	0.930**	0.916**	0.932**
7	عملکرد خوارکی Ware yield							1	0.997**	0.971**	0.999**
8	عملکرد بذری Seed yield								1	0.969**	0.999**
9	عملکرد غیرقابل فروش Non-marketable yield									1	0.970**
10	عملکرد قابل فروش Marketable yield										1

*، ** و ns به ترتیب تفاوت معنی‌دار در سطح یک درصد و پنج درصد و تفاوت غیر معنی‌دار است.

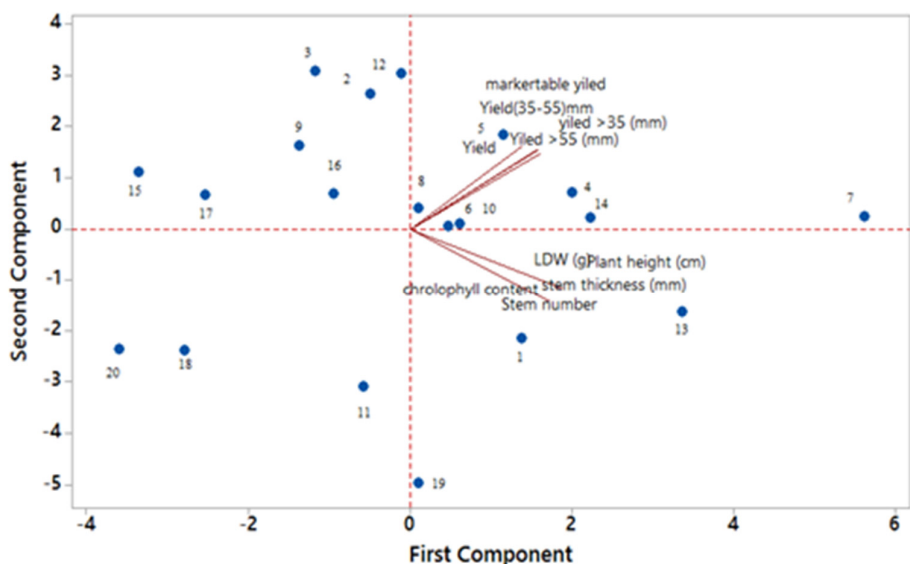
**, * and ns show significance difference at the level of 1 and 5% and non-significance, respectively.

نرخ سهم تجمعی از تغییرات کلی ۹۹٪ PC3 را به خود اختصاص داده است. با توجه به آنالیز PCA توسط ماتریس همبستگی و روش تجزیه و تحلیل بای پلات، مشخص شد که از این پارامترها می‌توان برای ارزیابی پاسخ ژنتیکی‌های سبیزمینی به کمود آب در محیط‌های مختلف استفاده کرد. ماتریس همبستگی محاسبه و آنالیز PCA بر اساس این ماتریس همبستگی رتبه انجام شد (Lipkovich and Smith, 2002). تجزیه و تحلیل PCA نشان داد که عملکرد، عملکرد بذری، عملکرد خوارکی و عملکرد غیرقابل فروشن با قطر ساقه با محتوای کلروفیل و ارتفاع گیاه ارتباط معنی‌داری دارد. دو مؤلفه اول ۲۲٪ از واریانس متغیرها را نشان می‌دهد. ارتباط صفات مربوط به عملکرد و ژنتیک‌ها به صورت گرافیکی در دو قطعه PC1 و PC2 نشان داده شده است (شکل ۱).

تحقیقان گزارش کردند پاسخ ژنتیک‌ها به شرایط محیطی برای همه مکان‌ها یکسان نیست (Becker and Leon, 1988). از این‌رو، می‌توان از این پارامترها برای توصیه ژنتیکی‌های سازگار در ایران استفاده کرد. همبستگی مثبت و معنی‌داری بین پارامترهای پایداری وجود دارد و پارامترها می‌توانند نقش مشابهی در انتخاب ژنتیک‌ها داشته باشند. یافته‌های ما با دیگر تحقیقان در محصولات زراعی مانند گندم و جو مطابقت داشت (El-Hashash and Agwa, 2018; Yaghootipoor et al., 2017). این صفات با هم و با میانگین عملکرد همبستگی معنی‌دار و مثبت داشتند (جدول ۳).

تحلیل مؤلفه اصلی (PCA)

PCA بر روی صفات کمی برای بررسی کامل عوامل مختلف که در شاخص‌های خشکی نقش اساسی داشته، انجام گرفت.



شکل ۱. نمودار بای پلات PCA برای تنفس خشکی در ژنتیک‌های سبیزمینی.

Fig. 1. PCA biplot for drought stress in potato genotypes.

بنابراین، برجسته‌ترین روابط مربوط به شکل ۱ عبارت‌اند از: ارتباط مثبت قوی بین عملکرد خوارکی ($\text{عملکرد} > 55 \text{ میلی-متر}$)، عملکرد، سبیزمینی قابل فروشن (عملکرد خوارکی و بذری)، عملکرد بذری ($35-55 \text{ میلی-متر}$) و عملکرد غیرقابل فروشن (عملکرد $< 35 \text{ میلی-متر}$) همان‌طور که با زاویه‌های کوچک بین بردارها نشان داده شده است. همچنین همبستگی مثبت و بالایی بین تعداد ساقه، ارتفاع بوته، ضخامت ساقه و محتوای کلروفیل را تشخیص دادند. در شکل ۱، یک بردار از مبدأ برای هر پارامتر از روش‌های پایداری برای رابطه بین روش‌های مختلف پایداری رسم شده است. ضریب همبستگی بین هر دو روش پایداری با کسینوس زاویه بین بردارها ارتباط دارد؛

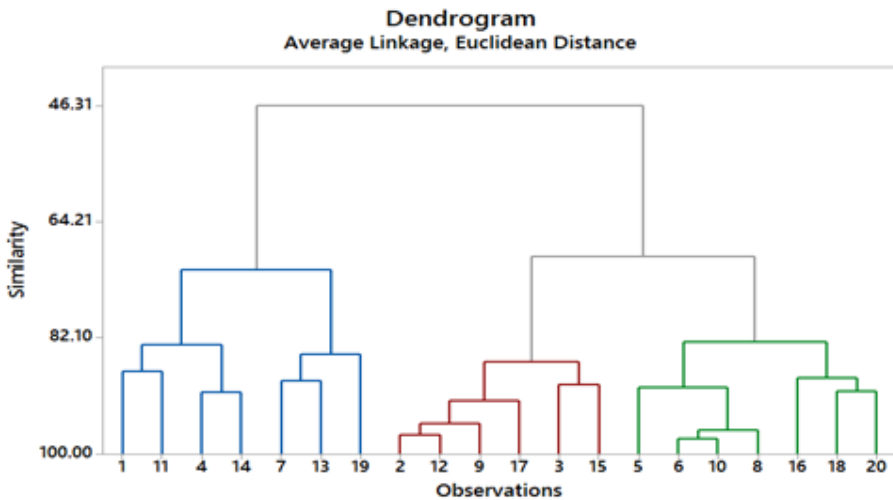
محورهای PC1 و PC2 به طور عمده صفات مورفولوژیکی و صفات مربوط به عملکرد را در سه گروه مختلف تشخیص می‌دهد مطابق با آنالیز PCA، اولین محورهای اصلی PC1 و PC2 تعداد ساقه، ارتفاع بوته، ضخامت ساقه و محتوای کلروفیل را تشخیص دادند. در شکل ۱، یک بردار از مبدأ برای هر پارامتر از روش‌های پایداری برای رابطه بین روش‌های مختلف پایداری رسم شده است. ضریب همبستگی بین هر دو روش پایداری با کسینوس زاویه بین بردارها ارتباط دارد؛

شدند. کلاستر III به ۹ ژنوتیپ تقسیم شد، که نشان‌دهنده تنوع ژنتیکی بر اساس ویژگی‌های مورفولوژیکی است. با توجه به رابطه بین اجزا و صفات مورد بررسی، ژنوتیپ‌های ۸۷۰۳-۱، ۸۷۰۷/۲۶، ۸۷۰۳-۱، ۸۷۰۸/۷، ۸۷۰۳-۱، ۸۷۰۸/۷، Hx1، ۹۰۲۰۲۷ و KSG616 در قسمت پایین سمت راست نمودار قرار گرفتند و به عنوان ژنوتیپ‌های مقاوم به خشکی در نظر گرفته شدند. از طرف دیگر، ژنوتیپ‌های ۸۷۰۸/۲۴۴، ۸۷۰۷/۲۶، ۸۷۰۳-۱، ۸۷۰۸/۷، ۸۷۰۳-۱ و ۸۷۰۴-۸۰۴ واقع در قسمت فوقانی سمت چپ نمودار به عنوان ژنوتیپ‌های حساس به خشکی شناسایی شدند (شکل ۲). نتایج تجزیه و تحلیل مؤلفه‌های اصلی و تجزیه خوش‌های نشان داد که ژنوتیپ‌های متحمل و حساس تحت تنش خشکی در یک گروه با الگوی مشابه قرار گرفتند.

داشت (شکل ۱). تنوع ژنوتیپ‌ها در کلیه محیط‌ها عملکرد غده با استفاده از نمایش گرافیکی بای‌پلات ارزیابی شد و ژنوتیپ‌ها با توجه به امتیازات اجزای اصلی (PCA) آن‌ها ارزیابی گردیدند. کلون‌هایی که در رتبه‌بندی تغییرات کمتری دارند، پایداری بالایی نسبت به محیط دارند (Becker and Leon 1988). بر اساس مطالعه‌ای، برای بررسی تحمل به خشکی ژنوتیپ‌ها از پارامترهای فیزیولوژیکی مانند شاخص سطح برگ، مدت زمان سطح برگ، محتوای کلروفیل استفاده شده است (Lah lou et al., 2003).

آنالیز خوش‌های

براساس تجزیه خوش‌های، ژنوتیپ‌ها در سه خوش‌گروه‌بندی شدند. کلاستر I و II به ترتیب در ۱۴ و ۱۶ ژنوتیپ گروه‌بندی



شکل ۲. مقایسه صفات مورفولوژیکی و فیزیولوژیکی در پاسخ به تنش خشکی در ژنوتیپ‌های سیب‌زمینی.

Fig. 2. Comparison of morphological and physiological traits means in response to drought stress in potato genotypes.

مترمربع) و کمترین عملکرد قابل فروش (۰/۰۷ کیلوگرم در مترمربع) مربوط به ژنوتیپ ۲۰ بود (جدول ۴). همچنین کمترین ارتفاع گیاه (۴۷/۵ سانتی‌متر) و وزن خشک برگ (۰/۰۷۸ گرم) برای ژنوتیپ ۲۰ بود. ژنوتیپ ۱۷ در شرایط نرمال کمترین تعداد ساقه (۵/۸۳) و محتوای کلروفیل (۳۲/۱۵) را داشت. بر اساس شرایط تنش کم‌آبیاری، ژنوتیپ ۵ با (۳/۱۳) کیلوگرم در مترمربع) و (۰/۰۵۷ کیلوگرم در مترمربع) و (۵ کیلوگرم در مترمربع) به ترتیب بیشترین عملکرد بذری و عملکرد قابل فروش را داشت و همچنین بیشترین عملکرد خوارکی مربوط به ژنوتیپ ۷ (۲/۱۵) کیلوگرم در مترمربع) بود.

با توجه به نتایج حاصل از آزمایش، اثر متقابل ژنوتیپ و شرایط نرمال نشان داد که در شرایط نرمال ژنوتیپ ۷ به ترتیب بیشترین عملکرد خوارکی، عملکرد بذری و عملکرد قابل فروش با (۲/۳۵) کیلوگرم در مترمربع)، (۳/۲۴) کیلوگرم در مترمربع) و (۰/۰۴۴) کیلوگرم در مترمربع) را داشت. همچنین ژنوتیپ ۷ بالاترین ارتفاع گیاه را با میزان ۷۲/۳ سانتی‌متر نشان داد. بر اساس صفات مورفولوژیکی، ژنوتیپ ۱۳ در شرایط نرمال بیشترین تعداد ساقه (۹)، وزن خشک برگ (۰/۱۳۵) و محتوای کلروفیل (۱۵/۴۴) داشت. کمترین عملکرد خوارکی، عملکرد بذری مربوط به ژنوتیپ ۱۹ به ترتیب (۴۴ کیلوگرم در مترمربع)، (۰/۶۲۵ کیلوگرم در

جدول ۴. اثر متقابل تیمارهای ژنتیک و تنفس کم آبی بر صفات مورفولوژیکی اندازه‌گیری شده سیب‌زمینی

Table 4. Interaction effect of genotype and water deficit on measured potato traits

ژنوتیپ Genotype	تیمارهای آبیاری Irrigation treatments	تعداد stem number		ارتفاع گیاه Plant height cm	وزن خشک برگ LDW g.pl ⁻¹	محتوی کلروفیل Chlorophyll content	عملکرد خوارکی Ware yield kg.pl ⁻¹	عملکرد بذری Seed yield kg.pl ⁻¹	عملکرد قابل فروش Marketable yield
		ساقه	گیاه						
1		8.33 ^{b-c}	69.8 ^{3b}	0.11 ^{a-f}	42.15 ^{ab}	0.475 ^{f-h}	0.7 ^{d-f}	0.115 ^{g-i}	
2		6.0 ^{j-k}	51.2 ^l	0.08 ^{d-l}	32.9 ^{g-m}	1.05 ^{a-h}	1.39 ^{a-c}	0.23 ^{b-i}	
3		6.0 ^{i-k}	48.5 ⁿ	0.08 ^{e-l}	33.62 ^{f-l}	0.66 ^{e-h}	0.9 ^{d-f}	0.125 ^{f-i}	
4		8.0 ^{cd}	65.16 ^d	0.1225 ^{ab}	38.73 ^{b-d}	0.64 ^{e-h}	0.92 ^{d-f}	0.145 ^{d-i}	
5		7.0 ^{e-f}	59.0 ^f	0.101 ^{b-i}	36.4 ^{c-h}	0.54 ^{f-h}	0.745 ^{d-f}	0.085 ^{hi}	
6		7.5 ^{d-e}	59.83 ^{fg}	0.114 ^{a-e}	36.65 ^{c-g}	1.2 ^{a-h}	1.61 ^{a-c}	0.205 ^{c-i}	
7		8.83 ^{ab}	72.3 ^{ab}	0.117 ^{a-d}	42.07 ^{ab}	2.35 ^a	3.24 ^a	0.445 ^{ab}	
8		6.83 ^{fg}	56.6 ^{hi}	0.08 ^{d-l}	37.0 ^{c-g}	1.58 ^{a-h}	2.19 ^{a-d}	0.335 ^{b-g}	
9		6.16 ^{hj}	52.0 ^{lm}	0.08 ^{e-l}	33.4 ^{f-m}	1.45 ^{a-h}	2.04 ^{a-c}	0.27 ^{b-i}	
10	آبیاری Optimal irrigation	7.0 ^{ef}	58 ^{g-i}	0.09 ^{b-j}	35.02 ^{d-j}	1.57 ^{a-h}	2.22 ^{ab}	0.3 ^{a-d}	
11	مطلوب	7.5 ^{de}	64.33 ^{de}	0.109 ^{a-g}	38.72 ^{b-d}	0.735 ^{d-h}	0.97 ^d	0.135 ^{e-i}	
12		6.16 ^{hi}	49.83 ^m	0.09 ^{fg}	34.05 ^{fg}	1.57 ^{a-c}	2.31 ^{a-c}	0.305 ^{b-h}	
13		9.0 ^a	71.0 ^b	0.135 ^a	44.15 ^a	1.70 ^{ac}	2.36 ^{a-c}	0.29 ^{b-h}	
14		8.33 ^{bc}	69.3 ^{bc}	0.12 ^{a-c}	39.98 ^{bc}	1.995 ^{a-c}	2.955 ^{a-c}	0.36 ^{a-d}	
15		6.0 ^{ij}	47.5 ^o	0.078 ^{gh}	32.56 ^{hj}	1.2 ^{ad}	1.66 ^{ac}	0.25 ^{b-i}	
16		6.83 ^{fg}	55.33 ^{i-k}	0.08 ^{eg}	35.9 ^{de}	1.03 ^{ac}	1.42 ^{ac}	0.185 ^{c-i}	
17		5.83 ^{ij}	49.0 ^m	0.1 ^{cd}	32.15 ^{ij}	1.16 ^{a-d}	1.57 ^{a-c}	0.175 ^{c-i}	
18		7.0 ^{ef}	57.83 ^g	0.1 ^{bd}	37.18 ^{ed}	0.535 ^{fg}	0.765 ^{df}	0.115 ^{g-i}	
19		9.0 ^a	74.33 ^a	0.11 ^{a-c}	45.36 ^a	0.44 ^{fg}	0.625 ^{df}	0.115 ^{g-i}	
20		6.6 ^{fg}	55.16 ⁱ	0.11 ^{b-d}	36.42 ^{cd}	0.445 ^{fg}	0.64 ^{df}	0.07 ⁱ	
1		7.5 ^{d-e}	61.83 ^{ef}	0.11 ^{a-f}	38.35 ^{b-e}	1.39 ^{a-h}	1.905 ^{a-c}	0.305 ^{b-h}	
2		5.16 ^m	43.83 ^r	0.073 ^{h-l}	30.28 ^{l-o}	1.825 ^{a-f}	2.35 ^{ab}	0.38 ^{a-c}	
3		4.5 ⁿ	39.3 ^s	0.067 ^{j-l}	27.0 ^o	2.11 ^{a-d}	2.94 ^{a-c}	0.355 ^{a-e}	
4		6.33 ^{g-i}	54.0 ^{ik}	0.091 ^{c-l}	34.4 ^{e-k}	2.155 ^{a-c}	3.02 ^{a-c}	0.430 ^{ab}	
5		6.0 ^{i-j}	49.67 ^m	0.08 ^{e-l}	33.85 ^{f-l}	2.260 ^{ab}	3.130 ^{a-b}	0.570 ^a	
6		6.66 ^{f-g}	53.50 ^{kl}	0.0795 ^{f-l}	34.17 ^{f-l}	1.22 ^{a-h}	1.75 ^{a-c}	0.305 ^{b-h}	
7		8.5 ^{a-c}	71.0 ^b	0.1350 ^a	42.1833 ^{ab}	1.39 ^{a-h}	1.99 ^{a-d}	0.36 ^{a-d}	
8		6.66 ^f	55.16 ^{ij}	0.08 ^{e-l}	33.5 ^{f-l}	0.83 ^{c-h}	1.15 ^{cd}	0.16 ^{c-i}	
9		5.33 ^{lm}	43.83 ^r	0.065 ^{kl}	30.1 ^{l-o}	0.91 ^{b-h}	1.29 ^{b-d}	0.18 ^{c-i}	
10	تنفس آبی Water Deficit	7.0 ^{ef}	56.3 ^{h-k}	0.1 ^{c-k}	36.9 ^{c-g}	0.8 ^{c-h}	1.15 ^{cd}	0.175 ^{c-i}	
11		7.5 ^{de}	61.3 ^{ef}	0.10 ^{b-i}	37.46 ^{c-f}	0.53 ^{f-h}	0.725 ^d	0.09 ^{hi}	
12		5.16 ^m	43.5 ^r	0.077 ^{gh}	29.40 ^m	1.43 ^{a-c}	1.99 ^{a-c}	0.34 ^{bf}	
13		8.16 ^c	66.3 ^{cd}	0.112 ^{a-c}	40.05 ^{bc}	1.007 ^{ac}	1.41 ^{a-c}	0.181 ^{c-i}	
14		6.66 ^{fg}	55.5 ^{ij}	0.1 ^{bc}	33.82 ^{f-h}	0.85 ^{c-e}	1.175 ^{cf}	0.205 ^{c-i}	
15		4.5 ⁿ	37.5 ^s	0.061 ^l	26.88 ^o	0.52 ^{fh}	0.705 ^{df}	0.109 ^{hi}	
16		5.5 ^k	46.5 ^{qr}	0.085 ^{ef}	31.95 ^{ij}	1.24 ^{ac}	1.6 ^{a-d}	0.24 ^{b-i}	
17		5.33 ^{lm}	43.66 ^r	0.07 ^{ij}	28.7 ⁿ	0.67 ^{ef}	0.97 ^{df}	0.15 ^{e-i}	
18		6.0 ^{ij}	50.33 ^m	0.08 ^{ef}	31.1 ^{jk}	0.4 ^{gh}	0.38 ^{ef}	0.065 ⁱ	
19		8.16 ^c	66.16 ^d	0.109 ^{a-c}	38.36 ^{bc}	0.295 ^h	0.545 ^{df}	0.075 ⁱ	
20		5.66 ^{jk}	47.0 ^{pq}	0.068 ^{jk}	30.85 ^{kl}	0.2 ^h	0.295 ^f	0.05 ⁱ	

* میانگین های با حروف مشترک در هر ستون، اختلاف معنی داری در سطح یک درصد باهم ندارند.

*Means with common letters in each column do not have a significant difference at the level of 1%.

مختلفی از آللهای مقاوم به خشکی را دارند (Eftekhari et al., 2020).

نتیجه‌گیری نهایی

آزمایش‌های مزرعه‌ای نشان داد که کمبود آب بر کلیه صفات مورفولوژی ارزیابی شده و عملکرد تأثیر می‌گذارد. از آنجاکه یافته‌های آزمایش نشان داد که ژنوتیپ‌های ۵ و ۷ در شرایط کمبود آب و شرایط طبیعی عملکرد بالای دارند، لذا ژنوتیپ‌های ۵ و ۷ برای تولید سبیزمنینی با عملکرد بالا مناسب می‌باشند. در شرایط تنش خشکی، آنالیز PCA و خوشبندی ژنوتیپ‌ها نشان داد که ژنوتیپ‌های متتحمل و حساس در گروه‌های مشابه گروه‌بندی شده‌اند. انتخاب ژنوتیپ‌های متتحمل بر اساس ترکیبی از شاخص‌های تحمل می‌تواند معیارهای مفیدی برای اصلاح ژنتیکی انواع ارقام سبیزمنینی متتحمل به خشکی فراهم کند. این نتایج به انتخاب غیرمستقیم ژنوتیپ‌ها در محیط‌های مختلف کمک می‌کند. ژنوتیپ‌های ۲، ۵، ۷ و ۱۲ به طور کلی نسبت به خشکی مقاوم بودند و به همین ترتیب می‌توان از آن‌ها در برنامه‌های تولید سبیزمنینی استفاده کرد.

بر اساس صفات مورفولوژیکی در شرایط تنش کم‌آبیاری، ژنوتیپ ۷ بیشترین مقدار را برای صفات تعداد ساقه (۸/۵)، ارتفاع گیاه (۷۱ سانتی‌متر)، وزن خشک (۰/۱۳۵ گرم) و محتوای کلروفیل (۰/۴۲) داشت. کمترین عملکرد بدري و عملکرد قابل فروش به ترتیب مربوط به ژنوتیپ ۱۵ (۰/۲ کیلوگرم در مترمربع)، ۰/۷۰۵ کیلوگرم در مترمربع) و ۰/۱۰۹ کیلوگرم در مترمربع) بود. علاوه بر این، کمترین عملکرد خوارکی مربوط به ژنوتیپ ۲۰ با میزان ۰/۰۵ کیلوگرم در مترمربع بود. ژنوتیپ ۱۵ کمترین مقدار را برای صفات تعداد ساقه (۴/۵)، ارتفاع گیاه (۳/۷/۵ سانتی‌متر)، وزن خشک (۰/۰۶۱ گرم) و محتوای کلروفیل (۰/۸۸) داشت (جدول ۴). گیاهان سبیزمنینی با کاهش عملکرد و کیفیت غده‌ها به تنش خشکی پاسخ می‌دهند. کمبود آب برای شروع تشکیل غده و رشد غده بسیار مهم بوده، بنابراین، شرایط کمبود آب سرعت رشد را کاهش می‌دهد (Tourneux et al., 2003). با توجه به اهمیت تنش خشکی، شناسایی مکانیسم‌های مولکولی مقاومت گیاه با استفاده از ژن‌های مقاومت به خشکی/تحمل در سبیزمنینی ضروری است که با انتقال آن‌ها به ارقام سبیزمنینی می‌توان ژنوتیپ‌های متتحمل ایجاد کرد. به دلیل منشأ متنوع ژنوتیپ‌ها، این ژنوتیپ‌ها احتمالاً انواع

منابع

- Anithakumari, A.M., Nataraja, K.N., Visser, R.G., Van der Linden, C.G., 2012. Genetic dissection of drought tolerance and recovery potential by quantitative trait locus mapping of a diploid potato population. *Molecular Breeding*. 30, 1413-1429.
- Bartlett, M.K., Scoffoni, C., Ardy, R. Zhang, Y., Sun, S., Cao, K., 2012. Rapid determination of comparative drought tolerance traits: using an osmometer to predict turgor loss point. *Methods in Ecology and Evolution*. 3, 880–888.
- Dalal, V.K., Tripathy, B.C., 2012. Modulation of chlorophyll biosynthesis by water stress in rice seedlings during chloroplast biogenesis. *Plant, Cell and Environment*. 35, 1685-703.
- Eftekhari, A., Baghizadeh, A., Abdoshahi, R., Yaghoubi, M.M., 2020. Evaluation of grain yield, agronomical traits and drought tolerance indices in some bread wheat cultivars. *Journal of Crop Breeding*. 32, 11-21. [In Persian with English summary].
- Hill, D., Nelson, D., Hammond, J., Bell, L., 2020. Morphophysiology of potato (*Solanum tuberosum*) in response to drought stress: paving the way forward. *Frontiers in Plant Science*. 11, 597554.
- Iwama, K., 2008. Physiology of the potato: new insights into root system and repercussions for crop management. *Potato Research*. 51, 333–353.
- Kooistra, L., Clevers, J.G., 2016. Estimating potato leaf chlorophyll content using ratio vegetation indices. *Remote Sensing Letters*. 7, 611-620
- Lahlou, O., Ouattar, S., Ledent, J.F., 2003. The effect of drought and cultivar on growth parameters. Yield and yield components of potato. *Agronomie*. 23, 257–268.
- Lipkovich, I.A., Smith, E.P., 2002. Biplot and singular value decomposition macros for excel. *Journal of Statistics Software*. 7, 1-14.

- Martínez, I., Muñoz, M., Acuña, I., Uribe, M., 2021. Evaluating the drought tolerance of seven potato varieties on volcanic ash soils in a medium-term trial. *Frontiers in Plant Science*. 12, 1238.
- Martínez-Romero, A., Domínguez, A., Landeras, G., 2019. Regulated deficit irrigation strategies for different potato cultivars under continental Mediterranean-Atlantic conditions. *Agricultural Water Management*. 216, 164-176.
- Mbava, N., Mutema, M., Zengeni, R., Shimelis, H., Chaplot, V., 2020. Factors affecting crop water use efficiency: A worldwide meta-analysis. *Agricultural Water Management*. 228, 105878.
- Mihaljević, I., Viljevac Vuletić, M., Šimić, D., Tomaš, V., Horvat, D., Josipović, M., Zdunić, Z., Dugalić, K., Vuković, D., 2021. Comparative study of drought stress effects on traditional and modern apple cultivars. *Plants*. 10, 561.
- Mark, T., Peter, L., 2010. Breeding technologies to increase crop production in a changing world. *Science*. 327, 818-822. 10.1126/science.1183700
- Mauromicale, G., Ierna, A., Marchese, M., 2006. Chlorophyll fluorescence and chlorophyll content in field-grown potato as affected by nitrogen supply, genotype, and plant age. – *Photosynthetica*. 44, 76-82.
- Samaee, M., Modares Sanavi, A.M., Mousapour Gorji, A., Zand, E., 2016. Water use efficiency and water productivity in potato genotypes under water stress conditions. *Journal of Soil and Water Resources Conservation*. 6, 15-32. [In Persian with English summary].
- Strasser, R.J., Srivastava, A., Tsimilli-Michael,, M., 2000. The fluorescence transient as a tool to characterize and screen photosynthetic samples. *Probing photosynthesis: mechanisms. Regulation and adaptation*. 445-483.
- Tourneux, C., Devaux, A., Camacho, M., Mamani, P., Ledent, J.F., 2003. Effects of water shortage on six potato genotypes in the highlands of bolivia (I): morphological parameters. *Growth and yield. Agronomie*. 23, 169-179.
- Yactayo, W., Ramírez, D.A., Gutiérrez, R., Mares, V., Posadas, A., Quiroz, R., 2013. Effect of partial root-zone drying irrigation timing on potato tuber yield and water use efficiency. *Agricultural Water Management*. 123, 65-70.
- Yaghotipoor, A., Farshadfar, E., Saeidi, M., 2017. Evaluation of phenotypic stability in bread wheat accessions using parametric and non-parametric methods. *Journal of Animal & Plant Sciences*. 27, 1269-1275.
- Zain, N.A.M., Ismail, M.R., Mahmood, M., Puteh, A., Ibrahim, M.H., 2014. Alleviation of water stress effects on MR220 rice by application of periodical water stress and potassium fertilization. *Molecules*. 19, 1795-1819.